

# ویژگی‌های مکانیکی نانوکامپوزیت‌های پلی‌پروپیلن – خاک رس

## تهیه شده با روش مخلوط مذاب

شهریار جعفری نژاد<sup>\*</sup><sup>†</sup>، حسین ابوالقاسمی، سید جواد احمدی<sup>\*</sup>، سهرابعلی قربانیان

تهران، دانشگاه تهران، پردیس دانشکده‌های فنی، دانشکده مهندسی شیمی

**چکیده:** ویژگی‌های مکانیکی از پارامترهای مهم در تهیه نانوکامپوزیت‌ها می‌باشند. بررسی ویژگی‌های مکانیکی اطلاعات مفیدی در مورد اثر سازگارکننده‌ها و نانوکلی و روش فرایندی می‌دهد. در این کارپژوهشی، خواص مکانیکی نانوکامپوزیت‌های تهیه شده با خاک رس C15A و اولیگومر PP-g-MA با خواص مکانیکی نانوکامپوزیت‌های تهیه شده توسط دیگر پژوهشگران مقایسه شده است. به طور کلی مالیک اندیرد (MA) و گلیسیدیل متاکریلات (GMA) اثرسازگارکننده‌گی بهتری نسبت به اکریلیک اسید (AA) دارند زیرا به خاطر قطبیت‌شان، ویژگی‌های مکانیکی نانوکامپوزیت‌ها به ویژه مدول یانگ و مقاومت ضربه‌ای و مقاومت کششی را بهبود می‌بخشنند. اگرچه در ویژگی‌های انعطافی کاهش شدیدی نشان می‌دهند، افزایش خاک رس به پلی‌پروپیلن مدول کششی و مقاومت کششی را بهبود داده اما از دیاد طول در نقطه شکست را با صرف نظر از عامل کوپلینگ به کار رفته کاهش می‌دهد. نانوکامپوزیت‌های حاوی خاک رس C20A مدول و مقاومت کششی بالاتری نسبت به C30B و CNa+ دارند در نانوکامپوزیت‌های پلی‌پروپیلن – خاک رس تهیه شده با خاک رس اصلاح شده اولیگومری، این خاک اثر شکل پذیری (انعطافی) روی پلیمرها دارد که مقاومت کششی در مقایسه با پلیمرهای اولیه کم می‌شود، در حالی که مدول یانگ افزایش می‌یابد. ساختار نانوکامپوزیت‌های تهیه شده با خاک رس C15A و اولیگومر PP-g-MA، ایترکلیست است که در آنها مقاومت کششی کاهش یافته ولی مدول یانگ افزایش می‌یابد. در این نانوکامپوزیت‌ها مقاومت به جذب حلال با افزایش میزان خاک رس، کاهش می‌یابد.

**واژه‌های کلیدی:** نانوکامپوزیت پلی‌پروپیلن، اختلاط مذابی، سازگارکننده، نانو رس، عامل کوپلینگ، اولیگومر.

**KEY WORDS:** Polypropylene nanocomposite , Melt blending , Compatibilizer , Nanoclay , Coupling agent , Oligomer.

### مقدمه

نانوکامپوزیت‌های برپایه نایلون – ۶ و خاک رس به صورت تجاری بهوسیله این مرکز، پژوهش‌هایی برای ساخت این مواد وارد دوران جدیدی شد [۱، ۲]. نانوکامپوزیت‌ها از بد تولید خواص خوبی از خود نشان داده‌اند و از طرف دیگر هزینه‌های فرایندی لازم برای تولید این مواد چندان بالا نیست.

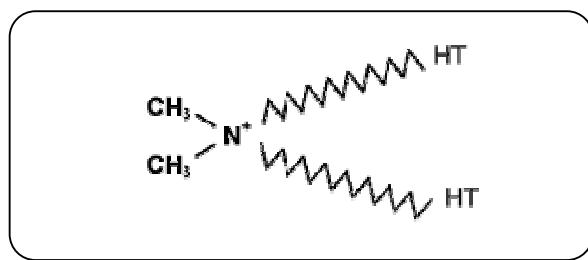
+E-mail: shjafarinejad@ut.ac.ir

واژه نانوکامپوزیت، به کامپوزیت‌هایی که حداقل یکی از اندازه‌های فاز پراکنده در آن در مقیاس نانو ( $10^{-9}$  m) باشد، اطلاق می‌شود.

نانوکامپوزیت‌های پلیمری برای نخستین بار توسط پژوهشگران مرکز پژوهش و توسعه توبیوتا ساخته شدند تا جایگزین برخی قطعه‌های اتومبیل مقاوم در برابر گرمای شوند. در سال ۱۹۸۰ میلادی با تهیه

\* عهده دار مکاتبات

• نشانی فعلی: تهران، سازمان انرژی اتمی ایران



شکل ۱- ساختار شیمیایی نمک آمونیم چهارگانه ۲M2HT.

مالئیک ایندیرید (MA) و گلیسیدیل متاکریلات (GMA) اثرسازگار کنندگی بهتری نسبت به اسید اکریلیک (AA) دارا هستند زیرا به خاطر قطبیت‌شان ویژگی‌های مکانیکی نانوکامپوزیت‌ها به ویژه مدول یانگ و مقاومت ضربه‌ای و مقاومت کششی را افزایش می‌دهند اگرچه در ویژگی‌های انعطافی کاهش شدیدی نشان می‌دهند. افزایش خاک رس به پلی پروپیلن مدول کششی و مقاومت کششی را بهبود بخشیده اما از دیاد طول در نقطه شکست را با صرف نظر کردن از عامل کوپلینگ به کار رفته کاهش می‌دهد. نانوکامپوزیت‌های حاوی خاک رس C20A مدول و مقاومت کششی بالاتری نسبت به C30B و CNa<sup>+</sup> دارند در نانوکامپوزیت‌های پلی پروپیلن - خاک رس تهیه شده با خاک رس اصلاح شده اولیگومری، این خاک اثر شکل‌بزیری (انعطافی) روی پلیمرها دارد که مقاومت کششی در مقایسه با پلیمرهای اولیه کاهش یافته، در حالی که مدول یانگ افزایش می‌یابد [۲۰-۲۷].

## بخش تجربی مواد

خاک رس استفاده شده در این کار پژوهشی کلوئی سایت 15A تولید شرکت خاک رس Southern (گونزالس، تگزاس امریکا) می‌باشد. این خاک ، مونت موریلونیت طبیعی بوده که با نمک آمونیم چهارگانه (2M2HT) که ساختار آن در شکل ۱ نشان داده شده است، اصلاح شده است که N<sup>+</sup> نشانگر آمونیم کلرید چهارگانه و HT نمایانگر چربی هیدروژنه شده بوده که HT به طور تقریبی از ۶۵ درصد C18 و ۳۰ درصد C16 و پنج درصد C15 تشکیل شده است که ویژگی‌های این خاک به طور کامل در جدول ۱ داده شده است. پلی پروپیلن مورد استفاده در این کار PP10800 بnder امام بوده و پلی پروپیلن گرفت شده با مالئیک ایندیرید (PP-g-MA) با درصد وزنی مالئیک ایندیرید، ۰.۷٪ و ۰.۵٪ MFI در دمای ۲۳۰ درجه سانتیگراد نیز از شرکت کیمیا جاوید سپاهان تهیه شده است.

تهیه نانوکامپوزیت‌های پلیمر - خاک رس به طور معمول وقتی قابل اجراست که پلیمر قطبی باشد نه غیرقطبی مثل پروپیلن. در واقع، نانوکامپوزیت پلی پروپیلن - خاک رس به دست نمی‌آید مگر با به کارگیری خاک رس اصلاح شده با اصلاح کننده‌های آلی مانند دی ایزوکاتنادیل دی متیل آمونیم که در آن سطوح قطبی خاک رس با زنجیره‌های بلند آلکیل پوشانده شده است [۳]. از آنجا که پلی پروپیلن پلیمری غیرقطبی است، برای افزایش سازگاری ذرات نانومتری خاک رس با ماتریس پلیمری، به جز اصلاح کردن خاک با ترکیب‌های آلی از پلیمر گرفت شده با ایندیرید مالئیک که یک ترکیب قطبی است نیز درون سیستم استفاده می‌شود، تا زنجیره‌های پلیمری بتوانند بین لایه‌های خاک رس قرار گرفته و ساختار نانوکامپوزیتی اکسفلیت یا ورقه‌ای شده تشکیل شود [۸-۴].

به طور کلی در تهیه نانوکامپوزیت‌ها پنج روش اصلی وجود دارد: روش محلولی، پلیمریزاسیون ایترکالیشن درجا، ایترکالیشن مذاب، سنتز با استفاده از تمپلتها و روش سل - ژل [۹-۱۰]. برای توزیع خوب خاک رس در ماتریس پلی پروپیلن دو روش توسعه داده شده است. روش اول ایترکالیشن مذاب با استفاده از یک اولیگومر قطبی به عنوان سازگار کننده می‌باشد که در این روش، ابتدا خاک رس آلی با یک سازگار کننده در حالت مذاب محلول شده و پس از آن خاک رس پیش ایترکلیت شده با پلی پروپیلن در حالت مذاب محلول می‌شود. وقتی که قابلیت حل شدن اولیگومر با پلی پروپیلن کافی باشد، اکسفلیشن خاک رس پیش ایترکلیت شده رخ می‌دهد [۱۱-۱۳]. روش دوم پلیمریزاسیون ایترکالیشن با یک کاتالیست (TiCl<sub>3</sub> یا یک متالوسین) همراه با خاک رس اصلاح شده است. هرچند روش دوم دارای آینده روشی است، اما بهترین روش چند کاره و دوستدار محیط براساس محلول مذاب مستقیم پلیمر با خاک رس اصلاح شده است [۱۴-۱۶]. در این مقاله، اثر سازگار کننده‌ها و خاک رس‌های اصلاح شده گوناگون روی ویژگی‌های مکانیکی نانوکامپوزیت‌های پلی پروپیلن - خاک رس تهیه شده با روش محلول مذاب توسط پژوهش گران مختلف، بررسی شده و سپس نتیجه‌های به دست آمده از این بررسی‌ها با نتیجه‌های به دست آمده از نانوکامپوزیت پلی پروپیلن - خاک رس تهیه شده از کلوئی سایت 15A (cloisite 15A) و اولیگومر PP-g-MA در این کار پژوهشی، مورد مقایسه قرار گرفته اند.

## بررسی اثر سازگار کننده‌ها و خاک رس‌های اصلاح شده

آنالیز ویژگی‌های مکانیکی اطلاعات مفیدی در مورد اثر سازگار کننده‌ها و نانوکلی و روش فرایندی می‌دهد. به طور کلی

جدول ۱- ویژگی‌های کلوئی سایت ۱۵A

	اصلاح کننده آلی	غاظت اصلاح کننده	درصد رطوبت	چگالی ویژه (g/cc)	X ray d <sub>001</sub> (A)	شرکت
کلوئی سایت ۱۵A	۲M2HT	۱۲۵ meq / ۱۰۰ g clay	<%۲	۱,۶۶	۳۱,۵	Southern(USA)

جدول ۲- ترکیب درصدهای نمونه‌های تهیه شده.

درصد وزنی کلوئی سایت ۱۵A	PP-g-MA	درصد وزنی پلی‌پروپیلن	نمونه
۰	۱۵	۸۵	PP1
۳	۱۵	۸۲	PP2
۵	۱۵	۸۰	PP3
۷	۱۵	۷۸	PP4
۵	-	۹۵	PP5

جدول ۳- ویژگی‌های مکانیکی نانوکامپوزیت‌های تهیه شده.

درصد پلی‌پروپیلن	درصد اولیگومر	درصد کلوئی سایت ۱۵A	مقاومت کششی (MPa)	مدول یانگ (MPa)
۸۵	۱۵	-	۳۴	۱۳۶۰
۸۲	۱۵	۳	۳۳,۹۲۲	۱۳۵۰
۸۰	۱۵	۵	۳۱,۶۴۵	۱۳۶۹
۷۸	۱۵	۷	۳۱,۶۹۲	۱۵۰۵

### ویژگی‌های آزمایش‌ها

برای بررسی ساختار نانوکامپوزیت و چگونگی توزیع زنجیرهای پلیمر مابین لایه‌های سیلیکاتی از روش پراش اشعه ایکس استفاده شده است. آزمایش XRD بر حسب  $3\theta$  در زاویه بین ۱ تا ۱۰ درجه با استفاده از دستگاه فیلیپس با پرتو Cu K $\alpha$  با ولتاژ ۴۰ کیلو ولت و ۴۰ میلی آمپر انجام شده است. دستگاه میکروسکوپ الکترونی اسکنی استفاده شده در این پژوهه فیلیپس، مدل ایکس ال سی می‌باشد.

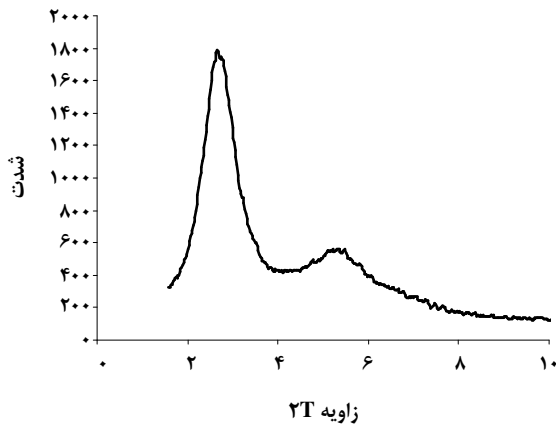
ویژگی‌های مکانیکی نانوکامپوزیت‌های به دست آمده، مانند مقاومت کششی و مدول یانگ بر طبق استاندارد ASTM D638 با اینسترون مدل ۴۴۱۱ اندازه‌گیری شده است. اندازه‌گیری برای هر نمونه سه بار تکرار شده و مقادرهای گزارش شده میانگین آنها می‌باشد. تجزیه ترموگراویمتری (TGA) برای بررسی رفتار حرارتی و تعیین پایداری حرارتی پلیمرها مورد استفاده قرار می‌گیرد. این آزمایش به دو صورت هم‌دما و ناهم‌دما انجام می‌شود. در این پژوهش برای بررسی پایداری حرارتی نمونه‌های تهیه شده از آزمون ترموگراویمتری ناهم‌دما در جو آرگون در دستگاه TG131 استفاده شده است.

### تهیه نانوکامپوزیت‌های پلی‌پروپیلن - خاک رس

همه نمونه‌ها با استفاده از روش مخلوط مذاب مستقیم پلی‌پروپیلن (P10800) با درصدهای وزنی مختلف خاک رس اصلاح شده شیمیایی (C15A) و اولیگومر PP-g-MA در یک برابندر میکسر در شرایط عملیاتی (دما ۱۷۵ درجه سانتیگراد و ۷۰ rpm و مدت زمان ۱۰ دقیقه) تهیه شده‌اند، به این ترتیب که مقدارهای معینی از پلی‌پروپیلن و PP-g-MA و خاک رس اصلاح شده (درصد وزنی‌ها در جدول ۲ و ۳ داده شده است) به طور همزمان وارد محفظه برابندر میکسر شده، بعد از ۱۰ دقیقه مخلوط کردن، مخلوط به دست آمده از بیرون آورده شده و در دمای اتاق سرد می‌شود. پس از آن، نمونه برای اینکه به شکل قالب درآورده شود در پنج مرحله پرس می‌شود: مرحله اول پیش گرمایش در دمای ۱۵۵ درجه سانتیگراد به مدت ۴ دقیقه می‌باشد، مرحله دوم پرس به مدت ۵۰ ثانیه با فشار ۵ بار، مرحله سوم پرس به مدت ۸۰ ثانیه با فشار ۱۰ بار، مرحله چهارم پرس به مدت ۱۰۰ ثانیه با فشار ۲۰ بار و مرحله آخر پرس به مدت ۱۰۰ ثانیه با فشار ۲۵ بار می‌باشد.

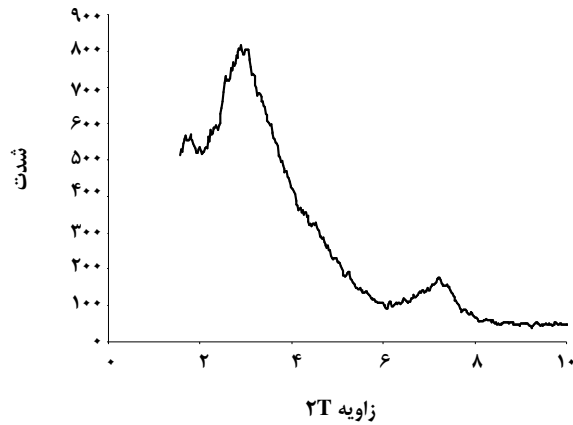
جدول ۴- داده‌های دمای ۵۵ درصد تخریب نمونه‌ها.

PP۵	PP۴	PP۳	PP۲	PP۱	نمونه
۴۳۳	۴۳۴,۵	۴۳۳	۴۴۲	۴۲۰	$T_{0,1}$ (°C)



شکل ۳- الگوی XRD نانوکامپوزیت با پنج درصد خاک رس.

در شکل‌های ۲ و ۳ نشان داده شده است. پیک مشخصاتی پراکنش اشعه ایکس کلوئی سایت (C15A) در حدود ۲۰ ۲۸۹ درجه قرار دارد در حالیکه پیک نانوکامپوزیت با پنج درصد خاک رس در مقایسه با کلوئی سایت (C15A) به زاویه‌های کوچک‌تر انتقال یافته است (۲۰ مساوی ۲۶۳) که این نشان می‌دهد که مولکول‌های PP-g-MA در بین لایه‌های سیلیکاتی خاک رس ایترکلیست شده و فاصله d خاک رس اصلاح شده را افزایش داده است. تصویرهای SEM ، PP۳ و PP۵ در شکل ۴ نشان داده شده است. روشی است که فاصله بین لایه‌ای PP۵ به تقریب مساوی فاصله بین لایه‌ای کلوئی سایت ۱۵A می‌باشد. این بیانگر توزیع نشدن نانوذرات در ماتریس پلیمری می‌باشد چون PP-g-MA نقش سازگار کننده را بازی می‌کند و حال آنکه PP۵ فاقد PP-g-MA می‌باشد. به عبارت دیگر عدم وجود سازگار کننده PP-g-MA باعث امتصاص ناپذیری پلی پروپیلن و خاک رس اصلاح شده است.



شکل ۲- الگوی XRD کلوئی سایت ۱۵A.

در این آزمایش‌ها نمونه‌ها از دمای ۱۵ °C تا دمای ۶۰۰ گرما داده شده‌اند و در این بازه میزان کاهش جرم نمونه با افزایش دما ارزیابی شده است. سرعت بالا رفتن دما، ۲۰ درجه سانتیگراد بر دقیقه بوده است.

آزمایش مقاومت به جذب حلال نانوکامپوزیت‌های پلی پروپیلن - خاک رس به شرح زیر انجام شده است: نمونه‌های با اندازه و شکل همانند ( $20 \times 10 \times 2$ ) میلیمتر مکعب داخل بشر دارای تولوئن خالص اندخته شده و به مدت ۴۳ ساعت در دمای اتاق (حدود ۲۵ درجه سانتیگراد) در آن مانده است. درصد تغییر جرم نمونه‌ها که نشانگر میزان جذب حلال توسط نمونه‌ها می‌باشد با استفاده از معادله (۱) زیر محاسبه شده است:

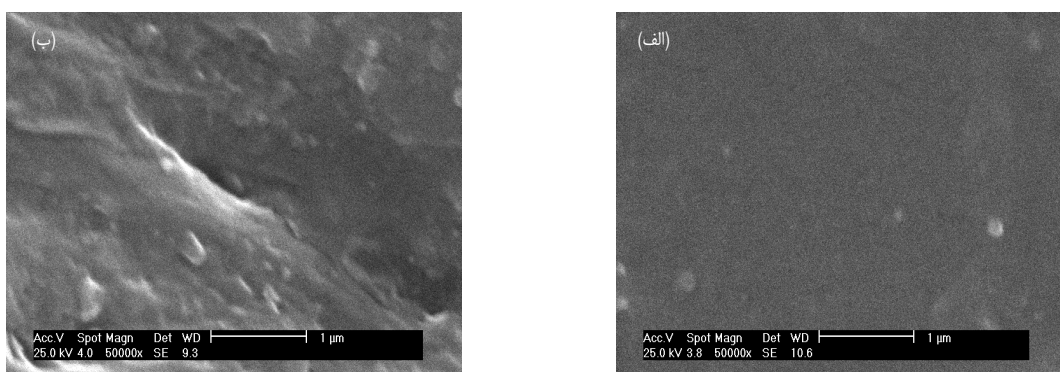
$$(1) \quad \text{درصد تغییر جرمی} = \frac{(M - M_0)}{M_0} \times 100$$

که  $M_0$  نمایانگر وزن خشک نمونه‌ها و  $M$  وزن نمونه‌ها بعد از ۴۳ ساعت ماندن در حلال می‌باشد.

## نتیجه‌ها و بحث

### ساختار نانوکامپوزیت

الگوهای XRD کلوئی سایت (C15A) و نانوکامپوزیت با پنج درصد وزنی خاک رس و ۱۵ درصد وزنی PP-g-MA به ترتیب



شکل ۴- تصویرهای SEM، (الف) PP3 و (ب) PP5.

### بررسی مقاومت به جذب حلال

پایداری در مقابل حلال یکی از پارامترهای مهم در تهیه نانوکامپوزیت‌ها می‌باشد. برای بررسی پایداری نانوکامپوزیت‌های پلی پروپیلن - خاک رس در مقابل حلال‌های شیمیایی آزمایش مقاومت به جذب تولوئن (پلی پروپیلن در تولوئن غیرقابل حل و متورم شونده است) انجام گرفته است. همانطور که شکل ۶ نشان می‌دهد با افزایش مقدار خاک رس، میزان جذب تولوئن در نانوکامپوزیت افزایش داشته است که این به دلیل خاصیت حلال دوستی خاک رس می‌باشد.

هفت درصد از خود نشان می‌دهد که این نشانگر آن است که مجموع خاک رس اصلاح شده شیمیایی C15A و اولیگومر PP-g-MA اثر شکل‌پذیری (نمی) روی پلیمرها دارد، درصورتی که مدول یانگ افزایش می‌باید. افزایش مدول یانگ به دلیل اثر سازگارکنندگی PP-g-MA می‌باشد، به عبارت دیگر با افزایش خاک رس، تمايل به تشکیل پیوند آمیدی بین گروههای آمونیم هسته دوست خاک رس و گروههای MA و واکنش حلقه باز MA افزایش می‌کنند. روند تغییرهای در مقاومت کششی و مدول یانگ در این پژوهش روند تغییرها مقاومت کششی و مدول یانگ نانوکامپوزیت‌های سنتزشده با خاک رس اصلاح شده اولیگومری است.

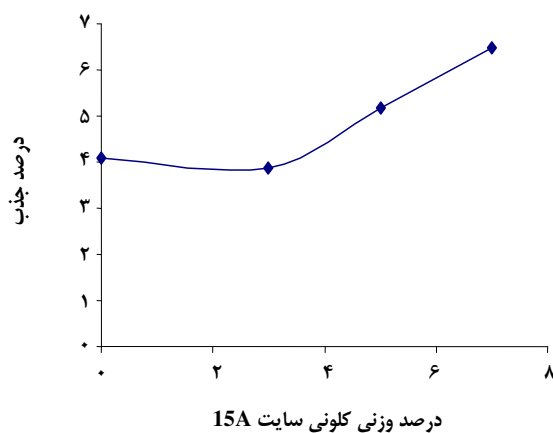
### نتیجه گیری

در این مقاله، نانوکامپوزیت‌های پلی پروپیلن - خاک رس گوناگون به دست آمده با روش مخلوط مذاب با استفاده از سازگارکنندگاهای و خاک رس‌های اصلاح شده متفاوت توسط پژوهش‌گران گوناگون، بررسی شده و ویژگی‌های مکانیکی آنها مورد مطالعه قرار گرفته است. به طور کلی نتیجه‌های به دست آمده به صورت زیر می‌باشد:

- به طور کلی MA و GMA دارای سازگارکنندگی بهتری نسبت به AA می‌باشند و مدول یانگ و مقاومت ضربه‌ای و مقاومت کششی را افزایش می‌دهند اگرچه در خواص انعطافی کاهش شدیدی نشان می‌دهند [۱۷].
- نانوکامپوزیت‌های حاوی خاک رس C20A، مدول و مقاومت کششی بالاتری دارند [۱۷].
- ساختار نانوکامپوزیت‌های پلی پروپیلن - خاک رس تهیه شده با خاک رس C15A و اولیگومر PP-g-MA، اینترکلیت بوده

### نتیجه‌های آزمون قرموقراویمتری (TGA)

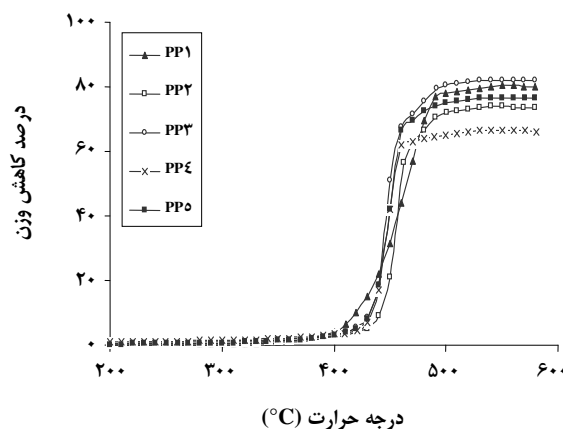
نتیجه‌های به دست آمده از این آزمون به صورت منحنی‌های ترمومراویمتری در شکل ۵ نشان داده شده است و دمای ده درصد تخریب نمونه‌ها ( $T_{0.1}$ ) که معیاری برای بررسی پایداری حرارتی نمونه‌ها می‌باشد نیز در جدول ۴ آورده شده است. همانگونه که در شکل ۵ و جدول ۴ دیده می‌شود با افزایش درصد وزنی خاک رس اصلاح شده پایداری حرارتی نانوکامپوزیت‌های پلی پروپیلن - خاک رس اصلاح شده نسبت به پلی پروپیلن افزایش می‌باید مثلاً در نانوکامپوزیت‌های با ۳، ۵ و ۷ درصد وزنی خاک رس اصلاح شده دمای ده درصد تخریب، به ترتیب ۲۲ و ۱۳ و ۱۴/۵ درجه سانتیگراد افزایش می‌باید. ساختار لایه‌ای نانوکامپوزیتی درواقع سرعت انتقال مواد فرار از فاز جامد به فاز گاز را کاهش می‌دهد و به این دلیل سرعت تخریب حرارتی کند می‌شود.



شکل ۶ - درصد جذب تولوئن نانوکامپوزیت پلی پروپیلن - خاک رس بر حسب درصد وزنی خاک رس.

- از دیدار طول در نقطه شکست به آن اندازه که با خاک رس اصلاح شده آلی کاهش پیدا می کند، با خاک رس اصلاح شده اولیگومری افت پیدا نمی کند [۲۰-۱۸].
- با افزایش درصد وزنی خاک رس اصلاح شده پایداری حرارتی نانوکامپوزیت‌های پلی پروپیلن - خاک رس اصلاح شده نسبت به پلی پروپیلن افزایش می‌یابد.

تاریخ دریافت: ۱۳۹۰/۰۷/۲۵؛ تاریخ پذیرش: ۱۳۹۰/۰۷/۲۴



شکل ۵ - منحنی‌های TGA نانوکامپوزیت‌های پلی پروپیلن - خاک رس تهیه شده.

- و در آنها مقاومت کششی کاهش یافته، در حالی که مدول یانگ افزایش می‌یابد.
- در نانوکامپوزیت‌های پلی پروپیلن - خاک رس تهیه شده با خاک رس C15A و اولیگومر PP-g-MA مقاومت به جذب حلal با افزایش میزان خاک رس، کاهش می‌یابد.
- در نانوکامپوزیت‌های پلی پروپیلن - خاک رس سنتز شده با خاک رس اصلاح شده اولیگومری، مقاومت کششی در مقایسه با پلیمرهای اولیه کاهش یافته در حالی که مدول یانگ افزایش می‌یابد.

## مراجع

- [1] Tang Y., Hu Y., Feng Sh., Gui Z., Preparation of Polypropylene/Clay Nanocomposites by Melt Intercalation from Pristine Montmorillonite, *Polym.Adv.Technol.*, **14**, p. 733 (2003).
- [2] Usuki A., Kawasumi M., Kojima Y., Okada A., Kurachi T., Kamigaito O.J., Preparation and Proper Ties of Polypropylene/Clay Nanocomposites, *Mater Res.*, **8**, p. 1174 (1993).
- [3] Ma J., Qi Z., Hu Y., Synthesis and Characterization of Polypropylene/Clay Nanocomposites, *Chinese Academy of Science*, **14**, p. 222 (2001).
- [4] Qin H., Zhang S., Zhao C., Polymer Hybrids and Nanocomposites, *J.Polym.*, **46**, p. 8386 (2005).
- [5] Zhang Y.Q, Hee-Lee J., Polypropylene Clay Nanocomposites Prepared by in Situ Grafting-Intercalating in Melt, *Composite Science*, **64**, p.1383 (2004).
- [6] Jafari Nejad Sh., Ahmadi S.J., Abolghasemi H., Mohaddespour A., Thermal Stability, Mechanical Properties and Solvent Resistance of PP/Clay Nanocomposites Prepared by Melt Blending, *Journal of Applied Sciences*, **7**, p. 2480 (2007).

- [7] A Mohaddespour A., Ahmadi S.J., Abolghasemi H., Jafarinejad Sh., The Investigation of Mechanical, Thermal and Chemical Properties of HDPE/PEG/OMT Nanocomposites, *Journal of Applied Sciences*, **7**, p. 2591 (2007).
- [8] Jafari Nejad Sh., Ahmadi S.J., Abolghasemi H., Mohaddespour A., Influence of Electron Beam Irradiation on PP/Clay Nanocomposites Prepared by Melt Blending, *E-Polymers Journal*, **126**, p.1 (2007).
- [9] Mohaddespour A., Ahmadi S.J., Abolghasemi H., Jafarinejad Sh., Thermal Stability, Mechanical and Adsorption Resistant Properties of HDPE/PEG/Clay Nanocomposites on Exposure to Electron Beam, *E-Polymers Journal*, **084**, p.1 (2008).
- [10] Ahmadi S.J., Huang Y.D., Li W., Synthesis Routes, Properties and Future Application of Polymer-Layered Silicate Nanocomposites, *Journal of Material Science*, **39**, p.1919 (2004).
- [11] Kato M., Usuki A., Okada A., Synthesis of Polypropylene Oligomer-Clay Intercalation Compounds, *J Appl Polym Sci.*, **66**, p.1781 (1997).
- [12] Hasegawa N., Kawasumi M., Kato M., Usuki A., Okada A., Preparation and Mechanical Properties of Polypropylene-Clay Hybrids Using a Maleic Anhydride-Modified Polypropylene Oligomer, *J Appl Polym Sci.*, **67**, p.87 (1998).
- [13] Zhang Y.Q., Hee Lee J., M.Rhee J., Y.Rhee K., Polypropylene Clay Nanocomposites Prepared by in Situ Grafting-Intercalating in Melt, *Composite Science and Technology*, **64** , p. 1383 (2004).
- [14] Ma J., Qi Z., Hu Y., Synthesis and Characterization of Polypropylene/Clay Nanocomposites, *J. Appl Polym Sci*, **82**, p. 3611 (2001).
- [15] Rong J., Li H., Jing Z., Hong X., Novel Organic/Inorganic Nanocomposite of Polyethylene.1.Preparation via in Situ Polymerization Approach, *J Appl Polym Sci.*, **82**, p.182937 (2001).
- [16] Heinemann J., Reichert P., Thomann R., Mulhaupt R., Polyolefin Nanocomposites formed by Melt Compounding and Transition Metal Catakyzed Ethane Homo and Copolymerization in the Presence of Layered Silicates, *Macromol Rapid Commun*, **20**, p. 423 (1999).
- [17] Quintanilla M.L., Ramos de valle L.F., Effect of Some Compatibilizing Agents on Clay Dispersion of Polypropylene-Clay Nanocomposite, *J Appl Polym Sci*, **100**, p. 4748 (2006).
- [18] Zhang J., D.Jiang D., Wilkie C.A., Polyethylene and Polypropylene Nanocomposites Based on a Three Component Oligomerically-Modified Clay, *Polym Deg and Stab*, **91**, p. 641 (2006).
- [19] Zhang J., Jiang D.D., Wilkie C.A., Polyethylene and Polypropylene Nanocomposites Based Upon an Oligomeically Modified Clay, *Thermo Acta..*, **430**, p.107 (2005).
- [20] Zhang J., Jiang D.D., Wilkie C.A., Thermal and Flame Properties of Polyethylene and Polypropylene Nanocomposites on an Oligomerically-Modified Clay, *Polym Deg and Stab*, **91**, p. 298 (2006).